

思考题讨论

- 思考题 0.2 从(3.2.14)式导出 $w_{\text{极}} = \frac{1}{2} \mathbf{P} \cdot \mathbf{E}$ 。
- 思考题 0.3 如果 $\oiint_S \mathbf{A} \cdot d\mathbf{S} = \oiint_S \mathbf{B} \cdot d\mathbf{S}$ 对任意闭合曲面 S 都成立, 能否推出 $\mathbf{A} = \mathbf{B}$?

• 思考题 0.2 解答

$$\begin{aligned} W_{\text{极}} &= -\frac{1}{2} \iiint_V \rho'_e U dV = \frac{1}{2} \iiint_V (\nabla \cdot \mathbf{P}) U dV \\ &= \frac{1}{2} \iiint_V [\nabla \cdot (\mathbf{P}U) - \mathbf{P} \cdot \nabla U] dV \\ &= \frac{1}{2} \oint_S (\mathbf{P}U) \cdot d\mathbf{S} + \frac{1}{2} \iiint_V \mathbf{P} \cdot \mathbf{E} dV, \end{aligned}$$

将 V 扩大到无穷空间，原始积分不变，此时 S 上无极化， $\mathbf{P}=0$ ， \Rightarrow 上式首项为零，于是

$$W_{\text{极}} = \frac{1}{2} \iiint_V \mathbf{P} \cdot \mathbf{E} dV \quad \Rightarrow \quad w_{\text{极}} = \frac{1}{2} \mathbf{P} \cdot \mathbf{E}$$

第十七讲 2022-04-28

第5章 真空中的静磁场

§ 5.1 磁现象与磁场

§ 5.2 毕奥—萨伐尔定律

§ 5.3 安培定律

§ 5.4 静磁场的基本定理

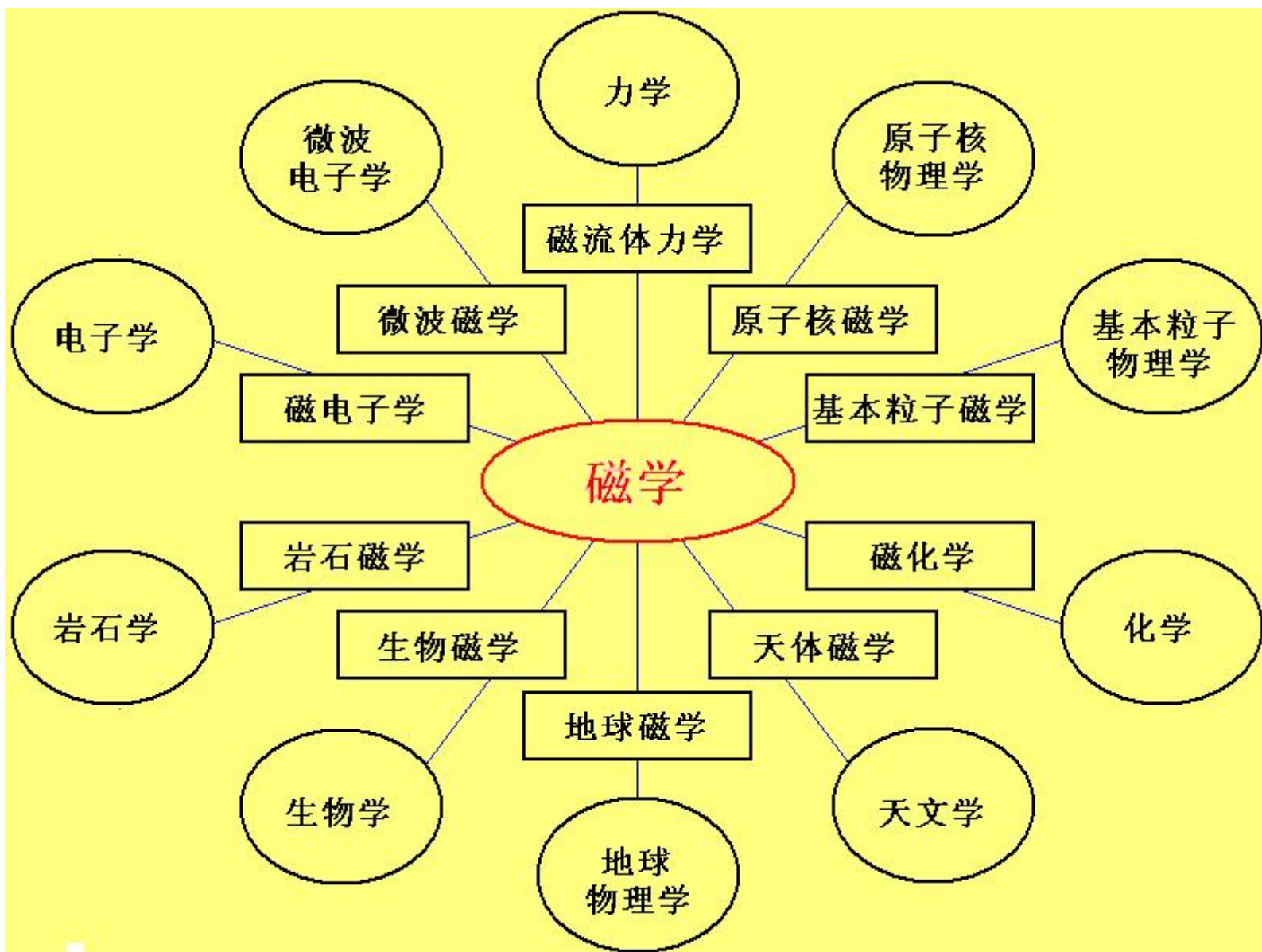
§ 5.5 带电粒子在磁场中的运动

§ 5.1 磁现象与磁场

1. 磁现象与磁学

- **磁现象的普遍性**：一切物质都具有磁性，任何空间都存在磁场。
- **磁学**：关于磁现象的研究与应用的学科。
- **磁学的基本任务**：磁的来源和磁的性质。
- **磁学古老又年轻**：古老——磁现象的发现和应用历史悠久，指南针。年轻——磁的应用越来越广泛，已形成许多与磁学有关的交叉学科。

磁学与其他学科的联系



- 对基本磁现象认识的三个阶段

1) 早期阶段：磁铁 \Leftrightarrow (磁)铁 (见下页)

2) 超距作用：电流 \Leftrightarrow 磁铁 电流 \Leftrightarrow 电流 (见5.3)

3) 近距作用：电流 \Leftrightarrow 磁场 \Leftrightarrow 电流 (见5.2)

- 磁学理论的两次大进展

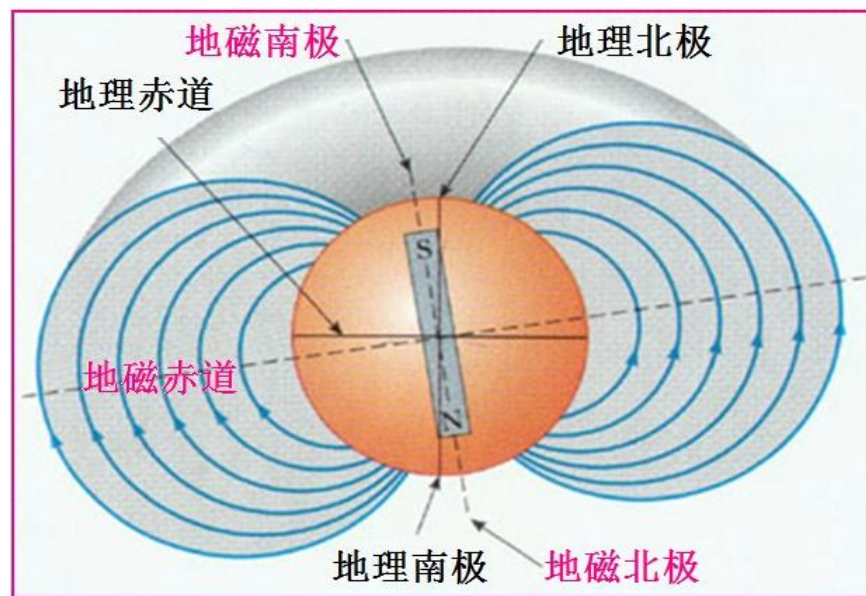
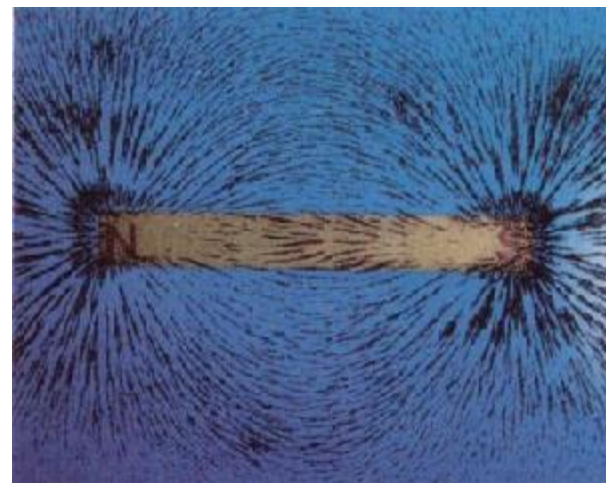
时间上分别在第二、第三两个阶段

1) 19世纪20年代，以安培分子环流假说为代表的物质磁性的经典理论；

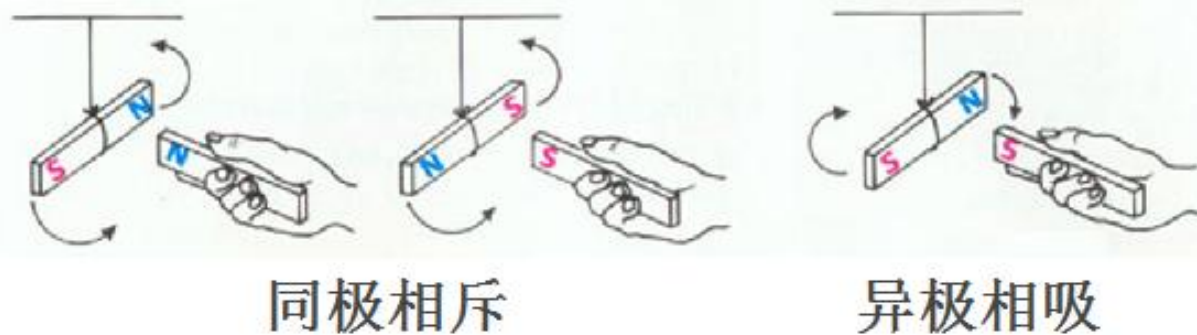
2) 一百多年后，物质磁性的量子理论。

早期阶段：磁铁 \Leftrightarrow (磁)铁

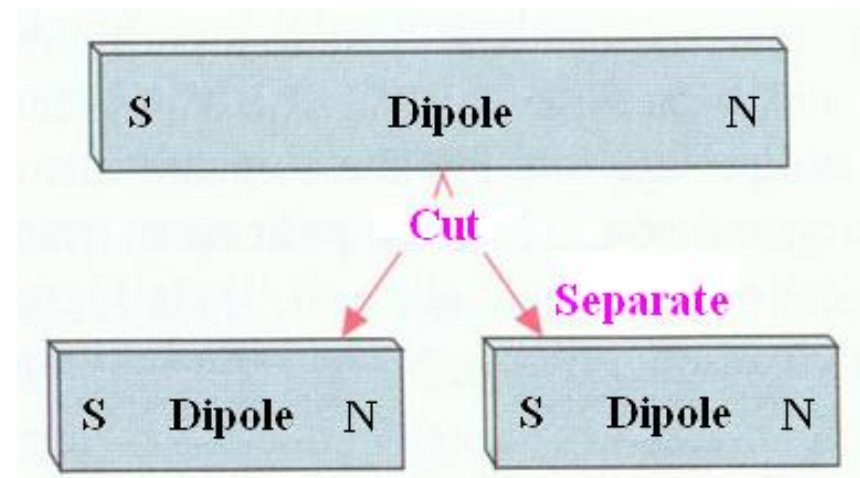
- **天然磁铁** (吸铁石) 能吸引铁、镍、钴等物质。条形磁铁的两端称**磁极**，中部称**中性区**。
- 将条形磁铁的中心支撑或悬挂起来使它能够在水平面内运动，则两极**近似**指南、北方向，分别称**S极**、**N极**。这是因为**地球本身是一个磁体**，条形磁铁 (**指南针**) 与地磁体发生相互作用。



- 条形磁铁与地球磁体之间、条形磁铁之间的相互作用说明**同号磁极相互排斥**，**异号磁极相互吸引**。



- 条形磁铁一分为二，每个小磁铁都有两极。**极限？**
- 类比与猜想：存在独立的正负电荷，有独立的正负磁荷即**磁单极子**吗？



实验裁判！

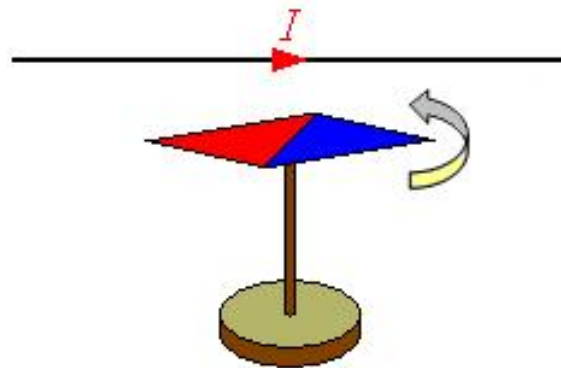
2. 磁的库仑定律

- 数学表述
$$\mathbf{F} = \frac{q_{m0}q_m}{4\pi\mu_0 r^3} \mathbf{r},$$

磁荷单位 $\text{N}\cdot\text{m}\cdot\text{A}^{-1}$ ，真空磁导率 $\mu_0=4\pi\times 10^{-7}\text{N}^{-1}\cdot\text{A}^2$.

- 定义磁场强度 $\mathbf{H}=\mathbf{F}/q_{m0}$ ，则点磁荷的磁场强度

$$\mathbf{H} = \frac{q_m}{4\pi\mu_0 r^3} \mathbf{r}.$$



奥斯特实验

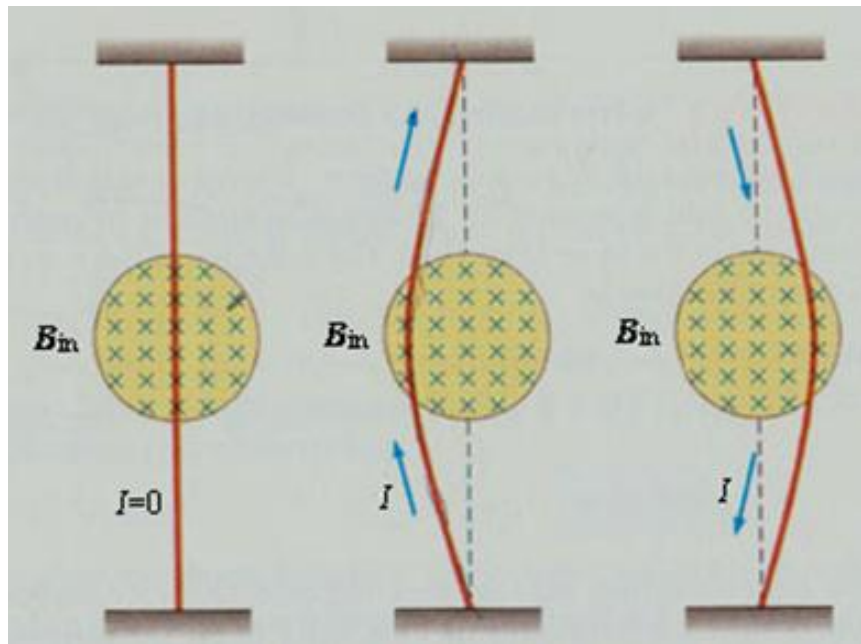
3. 电流的磁效应—奥斯特实验

1) 奥斯特实验

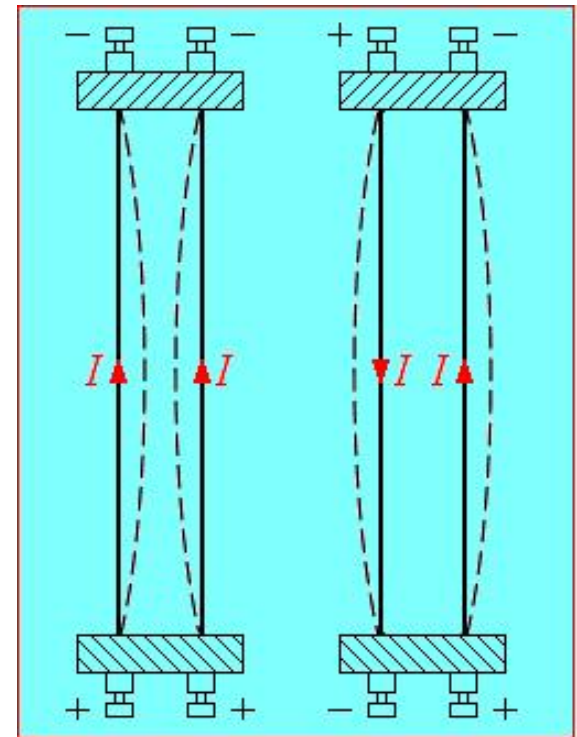
- 电与磁有不可分割的联系，并非“井水不犯河水”。
- 电流对磁铁的磁力是横向力 (对比：静电力径向)。

2) 引发的实验

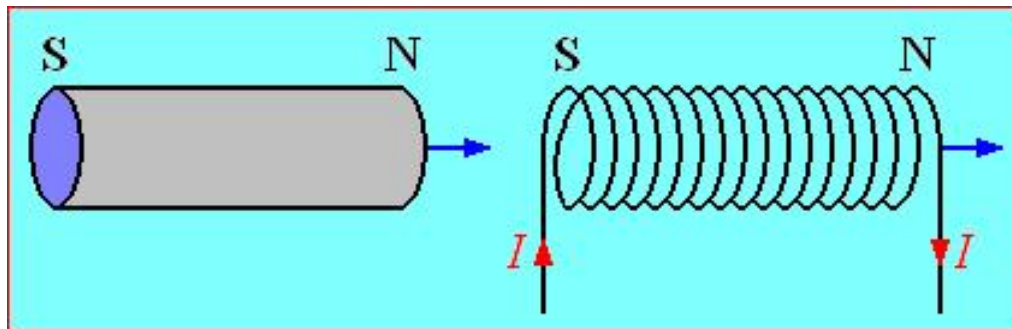
- 磁铁对电流的作用



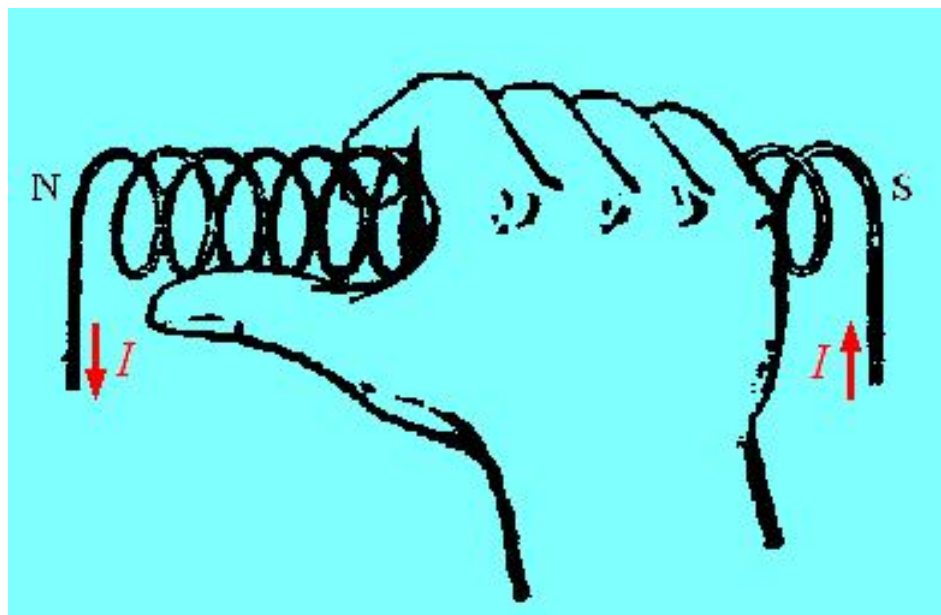
- 电流-电流相互作用
同向相吸 反向相斥



- 螺线管与磁棒的等效性



- 用右手定则来判断载流线圈的极性



3) 引发的深入研究

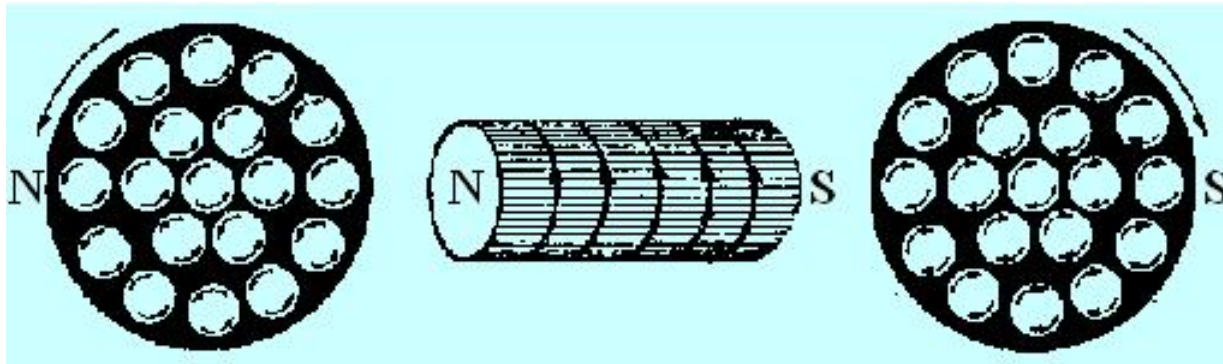
- 安培的实验及定律
- 毕奥—萨伐尔实验及定律
- 类比：静电相互作用通过电场来传递。
- 猜想：磁相互作用通过磁场来传递。

场的观点：电流 \Leftrightarrow 磁场 \Leftrightarrow 电流

- 安培分子环流假说 (见下页) \rightarrow Weber电子论 (归结为运动电荷之间的作用力) \rightarrow Lorentz电子论
- 逆效应的追求——法拉第电磁感应定律

安培假说——磁场的起源

- **安培假说**：组成磁铁的最小单元是**分子环流**，这些分子环流**定向排列**，在宏观上显示出N、S极。



机制？

- **分子环流如何形成？** 当时不知原子结构，不能解释。
- 现代理论：原子由带正电的原子核和绕核旋转的负电子组成。电子不仅绕核旋转，还具有**自旋**。电子的这些运动形成了**分子环流**。

4. 磁场的定量表述与洛仑兹力

1) 磁场的定量表述——磁感应强度 B

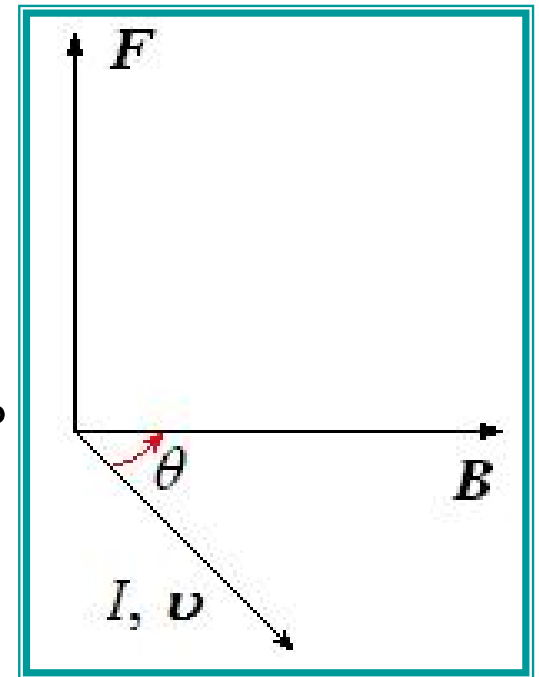
- **事实：**载流导线在磁场中受到力的作用。
- **推断：**电流即载流子定向运动
→运动电荷受磁力
- **类比：**用静电力定义电场强度
- **猜想：**用磁力定量表述磁场强弱
→进入实验环节

- **实验**：粒子 q 在固定磁场中运动，当速度 \boldsymbol{v} 沿某**特殊方向** \boldsymbol{n} 时**不受力**，当 \boldsymbol{v} 与 \boldsymbol{n} 夹 θ 角时， $F \propto qv \sin \theta$ ，比例系数与 q 、 \boldsymbol{v} 无关，可**推断**只由磁场**(强弱)**决定。
- **定义**：方向 $\parallel \boldsymbol{n}$ ；大小 $B = F / qv \sin \theta$
- $F = Bqv \sin \theta$ 的矢量式为

$$\boldsymbol{F} = q\boldsymbol{v} \times \boldsymbol{B}.$$

F 称为**洛伦兹力**， B 称为**磁感应强度**。

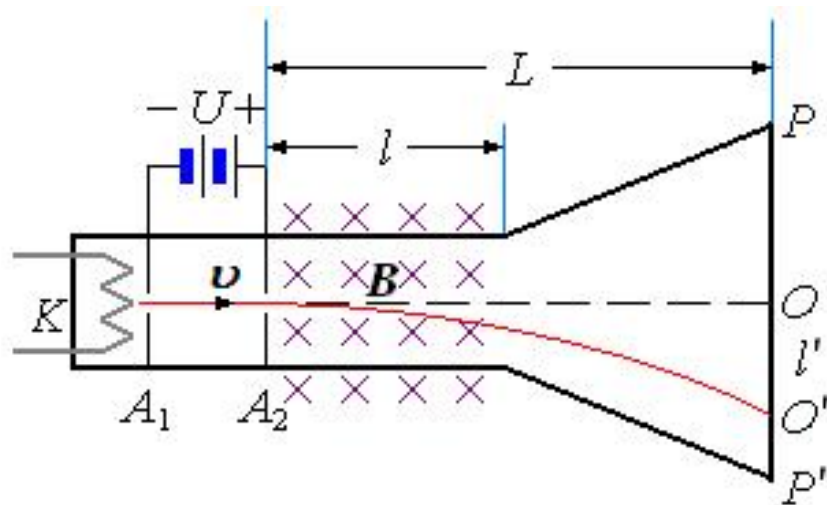
- **洛伦兹力的测量**：直接测量有困难，可由动力学方法**间接**测得。



2) 实验验证——阴极射线偏转演示

阴极射线管：被抽成真空的喇叭形玻璃管

- **阴极 K** ：发射电子
- **电极 A_1 ， A_2** ：中心开有小圆孔，在两电极间加上一一定的电压，使从电极 A_2 小圆孔出来的电子具有一定的运动速度。
- **均匀磁场 B** ：在电极 A_2 的右边，由电磁铁产生。
- **显示屏**：管底 PP' 涂有荧光物质，电子打到管底即显出光点。



- **实验结果**：发现电子束受磁场作用而偏转，表明运动电子受磁力的作用，并证实了**洛伦兹力公式**

$$\boldsymbol{F} = q \boldsymbol{v} \times \boldsymbol{B}.$$

- **洛伦兹力公式的两面**：既是磁感应强度的**定义式**，又可用于求运动电荷在磁场中所受的**洛伦兹力**。
- **广义洛伦兹力公式**：如果除了磁场外，同时还存在电场，则运动电荷受力

$$\boldsymbol{F} = q \boldsymbol{E} + q \boldsymbol{v} \times \boldsymbol{B}.$$

上式也称为洛伦兹力公式。

5. 安培力公式与洛伦兹力公式

- 既然电流是电荷的宏观定向运动，由洛伦兹力公式不难推出电流在磁场中的受力公式。
- 体电流元密度的微观表达式 $\mathbf{j} = nq\mathbf{u}$ ，考虑处于外场 \mathbf{B} 中的载流导体，在某个体积元 dV 中共有 ndV 个运动电荷，其中每个电荷受力为 $q\mathbf{u} \times \mathbf{B}$ ，因此整个体积元受力为 $d\mathbf{F} = nq\mathbf{u} \times \mathbf{B} dV$ ，即

体电流元受力

$$d\mathbf{F} = \mathbf{j} \times \mathbf{B} dV$$

面电流元受力

$$d\mathbf{F} = \mathbf{i} \times \mathbf{B} dS$$

线电流元受力

$$d\mathbf{F} = I d\mathbf{l} \times \mathbf{B}$$

安培力公式

- 要计算整个载流导体所受的安培力，只要选取相应公式进行积分运算就行了。
- 最早对磁场和物质相互作用的实验研究，是对载流导线进行的，并且通过安培力公式来定义空间某点的磁感应强度 B 。

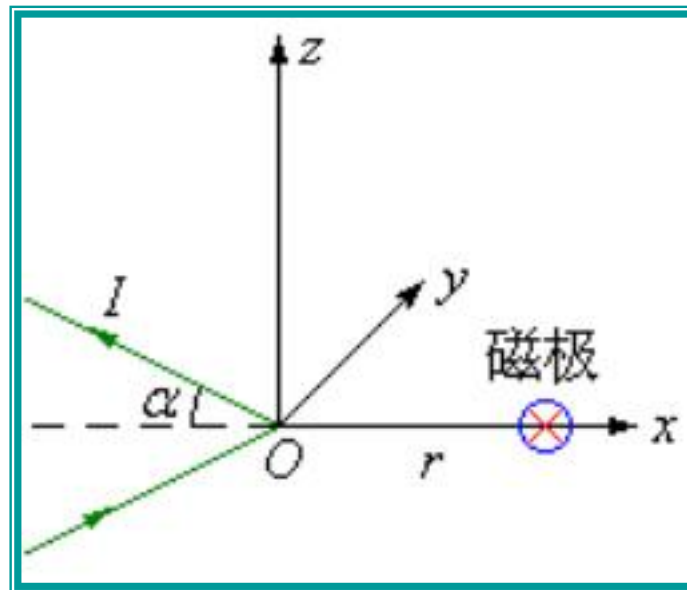
§ 5.2 毕奥—萨伐尔定律

1. 毕奥—萨伐尔的重要实验

- 弯折导线对磁极的作用力

$$F \propto \frac{I}{r} \tan \frac{\alpha}{2}, \text{ or}$$

$$F = k_1 \frac{I}{r} \tan \frac{\alpha}{2} \mathbf{e}_y.$$



特别的，当 $\alpha=\pi/2$ 时，是直导线。

- 由此拉普拉斯推出毕—萨定律

$$d\mathbf{B} = \frac{\mu_0}{4\pi} I d\mathbf{l} \times \frac{\mathbf{r}}{r^3}.$$

2. 求磁场举例

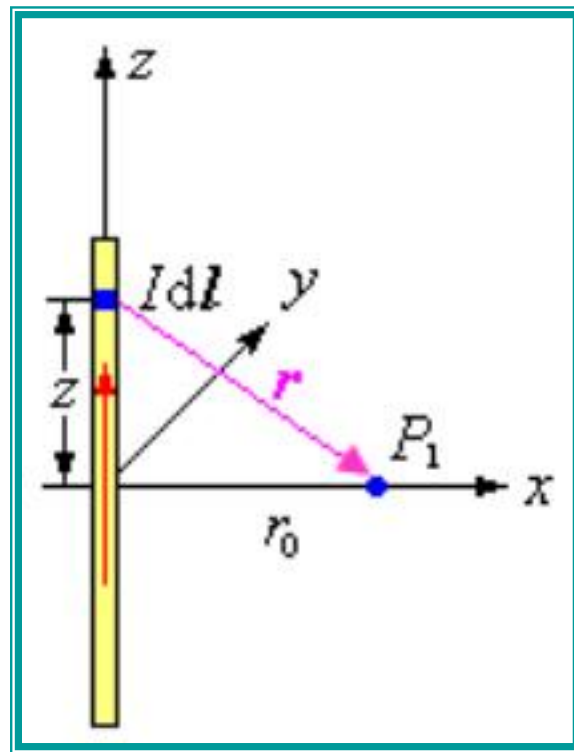
[例5.1] 求无限长直线电流 I 的磁场。

[解] $I\mathrm{d}l=I\mathrm{d}z\mathbf{e}_z$ ，由毕—萨定律

$$\begin{aligned}\mathrm{d}\mathbf{B} &= \frac{\mu_0}{4\pi} I\mathrm{d}z\mathbf{e}_z \times \frac{r_0\mathbf{e}_x - z\mathbf{e}_z}{(r_0^2 + z^2)^{3/2}} \\ &= \frac{\mu_0}{4\pi} \frac{r_0 I\mathrm{d}z\mathbf{e}_y}{(r_0^2 + z^2)^{3/2}},\end{aligned}$$

$$\therefore \mathbf{B} = \int \mathrm{d}\mathbf{B} = \frac{\mu_0}{4\pi} I\mathbf{e}_y r_0 \int_{-\infty}^{\infty} \frac{\mathrm{d}z}{(r_0^2 + z^2)^{3/2}} = \frac{\mu_0}{2\pi r_0} I\mathbf{e}_y.$$

此结果与实验结果一致，验证了毕—萨定律。



[例5.2] 半径为 R 的圆形电流 I ，在轴线上距离为 z 的 P_1 点的磁场 B 及周围的磁场。

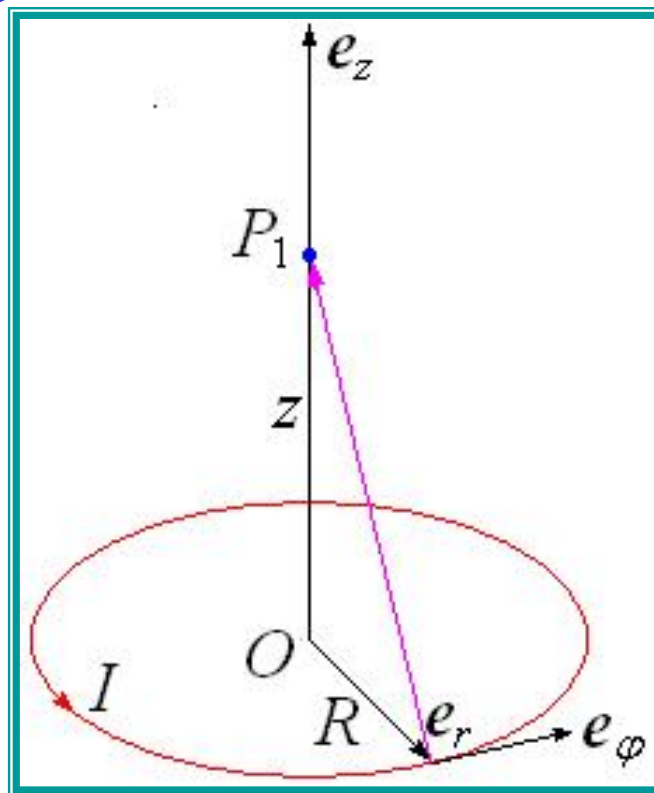
[解] 采用柱坐标系

由对称性，**第一项为0!**

$$\begin{aligned}
 \mathbf{B} &= \frac{\mu_0}{4\pi} \int_0^{2\pi} IR d\varphi \mathbf{e}_\varphi \times \frac{z\mathbf{e}_z - R\mathbf{e}_r}{(R^2 + z^2)^{3/2}} \\
 &= \frac{\mu_0}{4\pi} \int_0^{2\pi} IR d\varphi \frac{\mathbf{ze}_r + R\mathbf{e}_z}{(R^2 + z^2)^{3/2}} \\
 &= \frac{\mu_0}{2} \frac{IR^2}{(R^2 + z^2)^{3/2}} \mathbf{e}_z.
 \end{aligned}$$

定义 $\mathbf{m} = I\pi R^2 \mathbf{e}_z$ 为圆形电流的磁矩

$$\mathbf{B} = \frac{\mu_0}{2\pi} \frac{\mathbf{m}}{(R^2 + z^2)^{3/2}}.$$



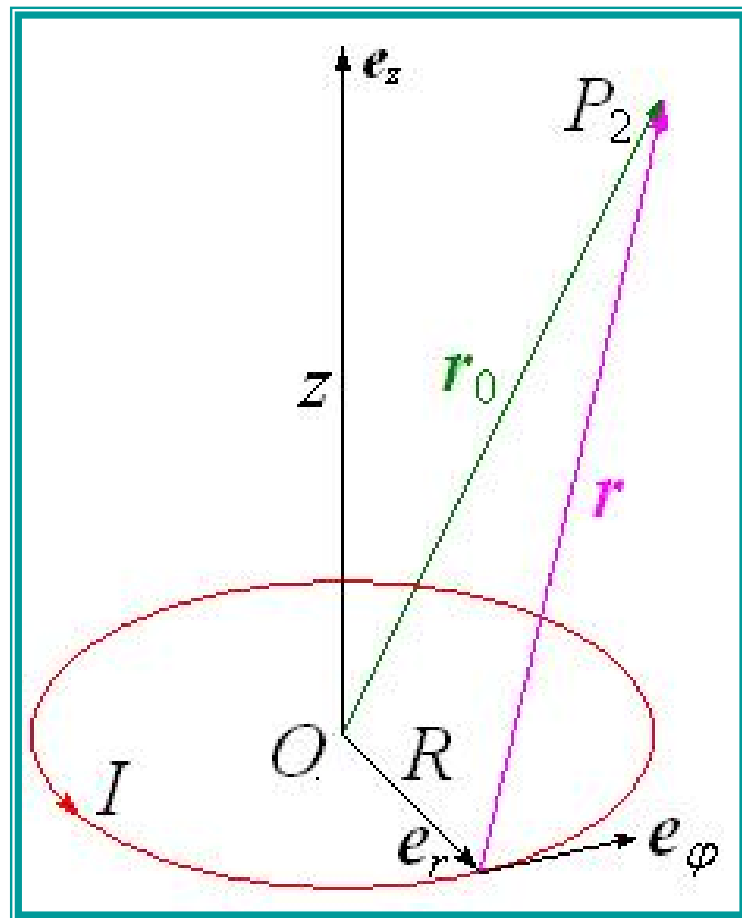
圆线圈轴线外一点 P_2 的磁场
详见p123。

当 $r_0 \gg R$ 时，磁场可近似为

$$\mathbf{B} = -\frac{\mu_0 \mathbf{m}}{4\pi r_0^3} + \frac{3\mu_0 (\mathbf{m} \cdot \mathbf{r}_0)}{4\pi r_0^5} \mathbf{r}_0$$

可证此式对任意载流线圈也
成立 (见例5.3)，并且与电偶
极子电场公式相似：

$$\mathbf{E} = -\frac{1}{4\pi\epsilon_0} \frac{\mathbf{p}}{r^3} + \frac{3(\mathbf{p} \cdot \mathbf{r})\mathbf{r}}{4\pi\epsilon_0 r^5}.$$



例5.3 求任意载流线圈在远处的磁场。

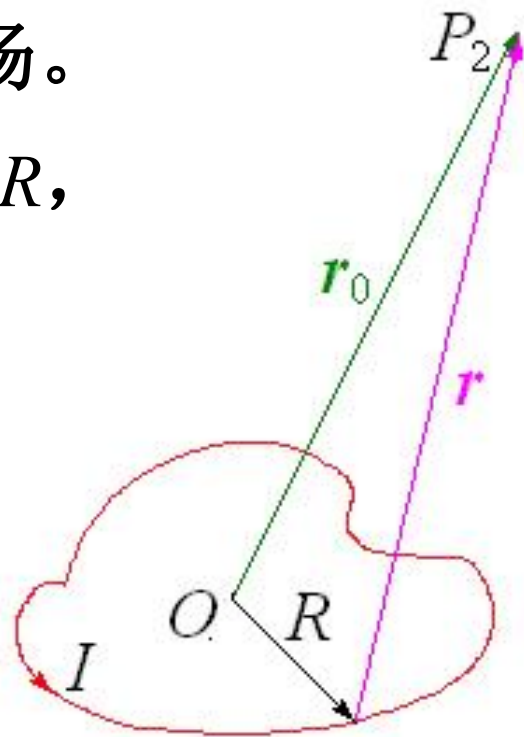
解：设 P_2 相对 O 点的位矢为 \mathbf{r}_0 ， $r_0 \gg R$ ， P_2 相对电流元的位矢 $\mathbf{r} = \mathbf{r}_0 - \mathbf{R}$ ，可证

$$\mathbf{B} = -\frac{\mu_0 \mathbf{m}}{4\pi r_0^3} + \frac{3\mu_0 (\mathbf{m} \cdot \mathbf{r}_0)}{4\pi r_0^5} \mathbf{r}_0$$

其中磁矩 $\mathbf{m} = IS$ ， $S = \frac{1}{2} \oint_L \mathbf{R} \times d\mathbf{R}$ 。

分析：近似到 R 的一阶项，有

$$\frac{1}{r^3} = \frac{1}{(r_0^2 - 2\mathbf{R} \cdot \mathbf{r}_0 + R^2)^{3/2}} \approx \frac{(1 + 3\mathbf{R} \cdot \mathbf{r}_0 / r_0^2)}{r_0^3}, \rightarrow$$



$$\frac{\mathbf{r}}{r^3} \approx \frac{(1 + 3\mathbf{R} \cdot \mathbf{r}_0 / r_0^2)}{r_0^3} (\mathbf{r}_0 - \mathbf{R}) \approx \frac{\mathbf{r}_0}{r_0^3} - \frac{\mathbf{R}}{r_0^3} + \frac{3(\mathbf{R} \cdot \mathbf{r}_0)\mathbf{r}_0}{r_0^5}, \rightarrow$$

$$\begin{aligned} \mathbf{B} &= \frac{\mu_0 I}{4\pi} \oint_L d\mathbf{R} \times \frac{\mathbf{r}}{r^3} \\ &\approx \frac{\mu_0 I}{4\pi} \left(\oint_L d\mathbf{R} \times \frac{\mathbf{r}_0}{r_0^3} - \oint_L d\mathbf{R} \times \frac{\mathbf{R}}{r_0^3} + \oint_L d\mathbf{R} \times \frac{3(\mathbf{R} \cdot \mathbf{r}_0)\mathbf{r}_0}{r_0^5} \right), \end{aligned}$$

$$\text{首项} = \frac{\mu_0 I}{4\pi} \left(\oint_L d\mathbf{R} \right) \times \frac{\mathbf{r}_0}{r_0^3} = 0, \quad \text{次项} = -\frac{\mu_0 I}{4\pi r_0^3} \oint_L d\mathbf{R} \times \frac{\mathbf{R}}{r_0^3} = \frac{\mu_0 \mathbf{m}}{2\pi r_0^3},$$

$$\text{末项} = \frac{3\mu_0 I}{4\pi r_0^5} \left[\oint_L (\mathbf{R} \cdot \mathbf{r}_0) d\mathbf{R} \right] \times \mathbf{r}_0, \quad (*)$$

末项的计算是本题难点，可按以下思路尝试

首项能写成全微分形式，再作闭合积分为零，可称之为无效部分；而次项则能用磁矩表达。

如果坚信小线圈的唯一特征量就是磁矩，就应预期末项可以用磁矩表达，最多加上类似首项的无效部分。

末项核心部分是 $(\mathbf{R} \cdot \mathbf{r}_0) d\mathbf{R}$ ，往磁矩凑，有关系式

$$(\mathbf{R} \cdot \mathbf{r}_0) d\mathbf{R} = (\mathbf{R} \times d\mathbf{R}) \times \mathbf{r}_0 + (d\mathbf{R} \cdot \mathbf{r}_0) \mathbf{R},$$

往全微分凑，可利用分部积分

$$(\mathbf{R} \cdot \mathbf{r}_0) d\mathbf{R} = d[(\mathbf{R} \cdot \mathbf{r}_0) \mathbf{R}] - (d\mathbf{R} \cdot \mathbf{r}_0) \mathbf{R}.$$

两式中既不能写成磁矩也不能写成全微分的项恰好相反，于是两式相加除以2得

$$(\mathbf{R} \cdot \mathbf{r}_0) d\mathbf{R} = \frac{1}{2} d[(\mathbf{R} \cdot \mathbf{r}_0) \mathbf{R}] + \frac{1}{2} (\mathbf{R} \times d\mathbf{R}) \times \mathbf{r}_0.$$

将上式代入(*)式，即 B 的末项表达式，有

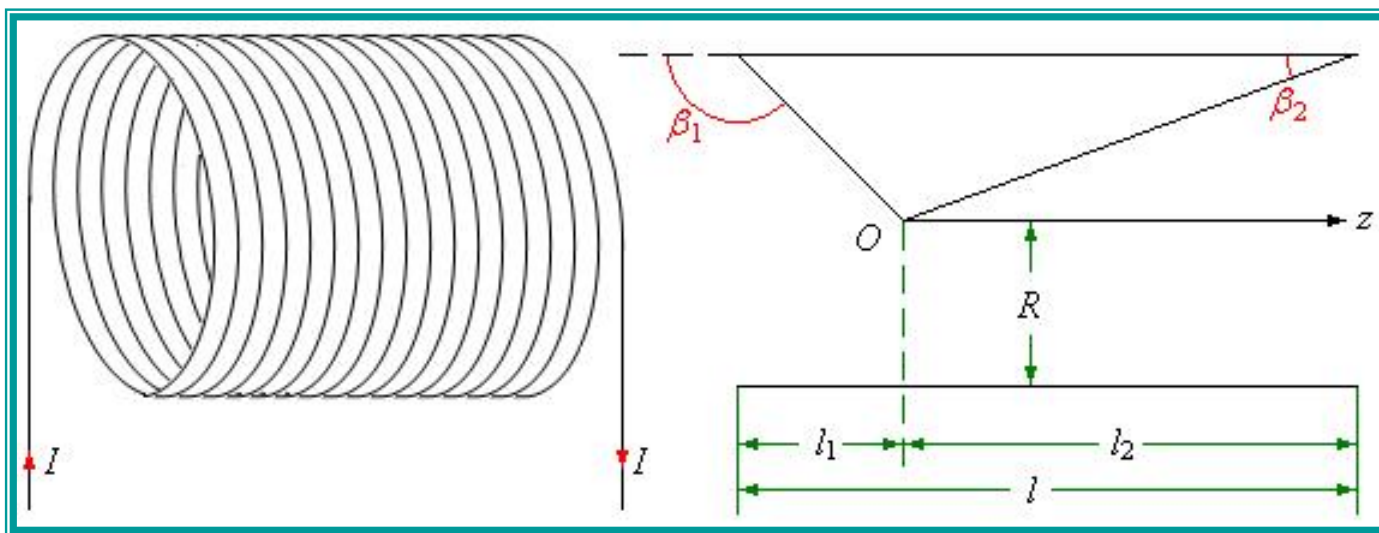
$$\text{末项} = \frac{3\mu_0 I}{4\pi r_0^5} \left[\frac{1}{2} \oint_L d[(\mathbf{R} \cdot \mathbf{r}_0) \mathbf{R}] + \frac{1}{2} \oint_L [(\mathbf{R} \times d\mathbf{R}) \times \mathbf{r}_0] \right] \times \mathbf{r}_0$$

$$= 0 + \frac{3\mu_0}{4\pi r_0^5} (\mathbf{m} \times \mathbf{r}_0) \times \mathbf{r}_0 = \frac{3\mu_0 [(\mathbf{m} \cdot \mathbf{r}_0) \mathbf{r}_0 - r_0^2 \mathbf{m}]}{4\pi r_0^5},$$

$$\therefore \mathbf{B} = \frac{\mu_0 \mathbf{m}}{2\pi r_0^3} + \frac{3\mu_0 [(\mathbf{m} \cdot \mathbf{r}_0) \mathbf{r}_0 - r_0^2 \mathbf{m}]}{4\pi r_0^5} = -\frac{\mu_0 \mathbf{m}}{4\pi r_0^3} + \frac{3\mu_0 (\mathbf{m} \cdot \mathbf{r}_0) \mathbf{r}_0}{4\pi r_0^5}.$$

此结果与电偶极子的电场相似：

$$\mathbf{E} = -\frac{1}{4\pi\epsilon_0} \frac{\mathbf{p}}{r^3} + \frac{3(\mathbf{p} \cdot \mathbf{r}) \mathbf{r}}{4\pi\epsilon_0 r^5}.$$



[例5.4] 绕在圆柱面上的螺旋形线圈叫螺线管。设它的长为 l ，半径为 R ，单位长度的匝数为 n ，电流强度为 I ，求螺线管轴线上的磁感应强度分布。

[解] 设螺线管是密绕的，它的磁场可近似看作一系列圆线圈磁场的叠加。考虑轴线上某点 O 的磁感应强度，取该点为坐标原点， Oz 沿轴线。

在位置 z 处，长度 dz 内共有 ndz 匝线圈，它在原点产生的磁感应强度只有 z 分量，其大小 (见例5.2) 为

$$dB = \frac{n\mu_0 IR^2}{2(R^2 + z^2)^{3/2}} dz.$$

整个螺线管在原点产生的磁感应强度为：

$$\begin{aligned} B &= \frac{n\mu_0 IR^2}{2} \int_{-l_1}^{l_2} \frac{dz}{(R^2 + z^2)^{3/2}} = \frac{n\mu_0 I}{2} \left. \frac{z}{\sqrt{R^2 + z^2}} \right|_{-l_1}^{l_2} \\ &= \frac{n\mu_0 I}{2} (\cos \beta_2 - \cos \beta_1), \end{aligned}$$

忽略了什么？

特例： 无穷长螺线管 $\beta_1=\pi, \beta_2=0, B=\mu_0 nI$.

半无限长螺线管一端 $\beta_1=\pi/2, \beta_2=0, B=\mu_0 nI /2$.

作业、预习及思考题

- 作业：5.1~5.4
- 预习：5.3 安培定律、5.4 静磁场的基本定理

下次课讨论

- 思考题5.1 磁感应强度可否按 $\mathbf{F}=q\mathbf{B}\times\mathbf{v}$ 定义？
- 思考题5.2 用直接法计算无穷长直螺线管内、外任一点的磁感应强度。